

В. В. ДАВЫДОВСКАЯ

УО МГПУ им. И. П. Шамякина (г. Мозырь, Республика Беларусь)

СТАБИЛИЗАЦИЯ КВАЗИСОЛИТОННОГО РЕЖИМА РАСПРОСТРАНЕНИЯ ДВУМЕРНЫХ СВЕТОВЫХ ПУЧКОМ В ФОТОРЕФРАКТИВНОМ КРИСТАЛЛЕ SBN ПУТЕМ СИММЕТРИЧНОГО УВЕЛИЧЕНИЯ КОЛИЧЕСТВА ВЗАИМОДЕЙСТВУЮЩИХ ПУЧКОВ

В настоящее время значительный интерес представляют исследования распространения и взаимодействия упорядоченных систем солитонов в фоторефрактивных кристаллах, так как они являются перспективными для применения фоторефрактивных кристаллов в системах оптической передачи данных, а также обработки информации с использованием каждого светового пучка в качестве отдельного информационного канала. К настоящему времени уже существует достаточно большое количество работ, содержащих экспериментальное исследование массивов световых пучков (напр., [1–2]).

В данной работе теоретически обоснована возможность стабилизации квазисолитонного режима распространения каждого их взаимодействующих двумерных световых пучков, симметрично расположенных на входе в кристалл относительно центра входной грани кристалла при увеличении их количества.

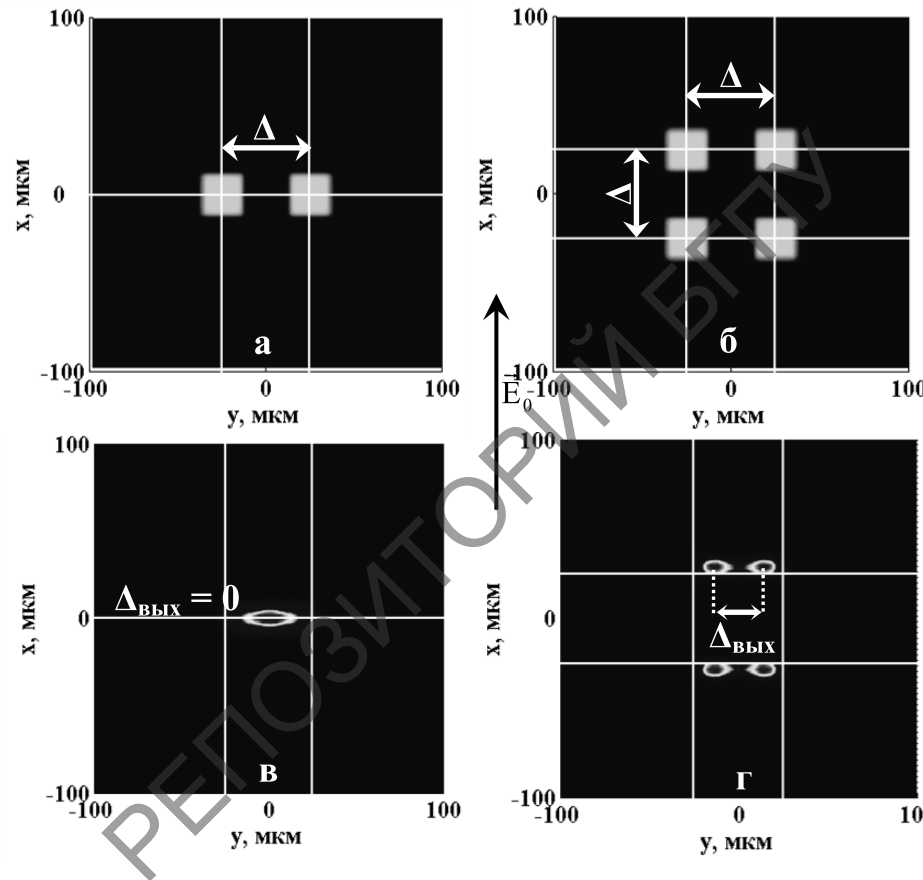
Для моделирования распространения двумерных световых пучков в кристалле SBN были использованы следующие параметры: $n_e = 2,33$, $r_{33} = 235 \text{ пм/В}$, $\lambda = 0,6314 \text{ мкм}$, $T = 295 \text{ К}$ [3, 4], характерный размер входных пучков $r_0 = 12,5 \text{ мкм}$. Модуль напряжённости внешнего электрического поля, в которое помещён кристалл, равен $E_0 = 3 \text{ кВ/см}$.

Для вычисления формы пучков на выходе, использовалась схема Дугласа и метод Дьяконова для решения дифференциальных уравнений в частных производных для двух или более пространственных переменных. Эти методы имеют приемлемые вычислительные затраты и точность (до сотых долей миллиметра толщины кристалла) [5, 6].

Сравним результаты взаимодействия двух и четырех супергауссовых световых пучков квадратного сечения, для которых на входе в кристалл расстояние между центрами их сечений $\Delta = 50 \text{ мкм}$ (рисунок 1, а, б).

На выходе из кристалла расстояние между центрами сечений, соответствующее взаимодействию двух пучков, $\Delta_{\text{вых}} = 0$, то есть происходит полное их объединение в один пучок (рисунок 1, в).

При взаимодействии четырех пучков полного объединения не наблюдается, и каждый пучок фокусируется отдельно. Расстояние между центрами поперечных сечений пучков «верхней пары» при выходе из кристалла $\Delta_{\text{вых}} \approx 25$ мкм, а полное объединение этих двух пучков происходит при $\Delta = 47$ мкм.



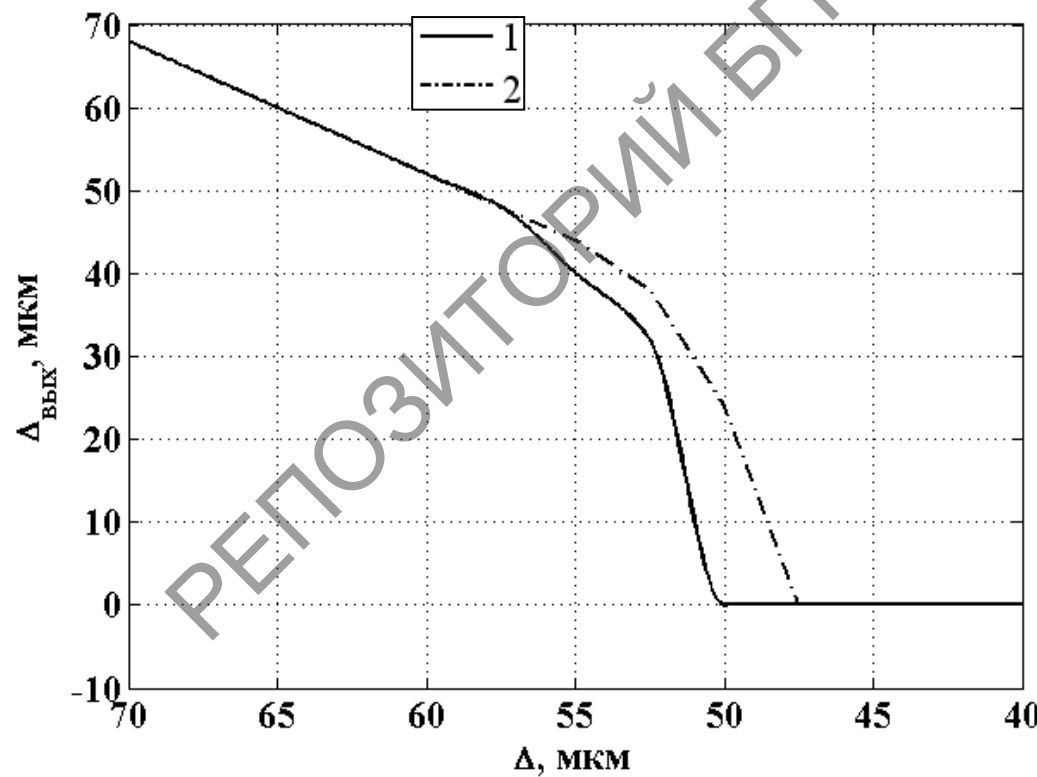
Напряжённость внешнего электрического поля направлена вдоль вертикальной оси ОХ и имеет модуль $E_0 = 3,5$ кВ/см; а, в – взаимодействие двух пучков; б, г – взаимодействие четырёх пучков

Рисунок 1 – Сравнение результатов взаимодействия двумерных световых пучков квадратного сечения размером 25×25 мкм²

Рассмотрим явление стабилизации квазисолитонного режима более подробно. При моделировании будем использовать следующие значения параметров: длина кристалла SBN 16 мм, размер поперечного сечения пучков $25 \times 25 \text{ мкм}^2$, напряжённость внешнего электрического поля $E_0 = 3 \text{ кВ/см}$; расстояние Δ между центрами сечений пучков на входе в кристалл будем постепенно уменьшать от 70 мкм до 40 мкм.

Проведем сравнение результатов взаимодействия двух и четырех супергауссовых световых пучков квадратного сечения.

На рисунке 2 хорошо видно, что, начиная с входного расстояния между осями пучков $\Delta = 57 \text{ мкм}$, на выходе из кристалла расстояние между двумя взаимодействующими пучками $\Delta_{\text{вых}}$ становится (кривая 1) меньше расстояния между двумя верхними пучками, соответствующего взаимодействию четырех пучков (кривая 2).



1 – взаимодействие двух пучков; 2 – взаимодействие четырёх пучков

Рисунок 2 – Зависимость расстояния между центрами сечений световых пучков на выходе из кристалла толщиной 16 мм от расстояния между центрами сечений гауссовых пучков на входе в кристалл

Следует отметить, что полученные теоретические результаты были подтверждены экспериментально (см. [7]).

Выявлено, что при увеличении числа пучков и использовании их симметричного расположения происходит стабилизация квазисолитонного режима распространения. Например, при совместном распространении четырёх пучков объединения не происходит. При распространении в кристалле в тех же условиях двух взаимодействующих пучков, расположенных перпендикулярно к напряжённости электрического поля, они объединяются в один.



Список использованных источников

1. Optical control of arrays of photorefractive screening solitons / J. Petter [et al.] // Opt. Lett. – 2003. – Vol. 28. – P. 438–440.
2. Spatial photonics in nonlinear waveguide arrays/ J.W. Fleischer [et al.] // Opt. Express. – 2005.– Vol. 13. – No. 6. – P. 1780–1796.
3. Ducharme, S. Electro-optic and Piezoelectric Measurements in Photorefractive Barium Titanate and Strontium Barium Niobate / S. Ducharme, J. Feinberg, R.R. Neurgaonkar // J. Quantum Electron. – 1987. – Vol. 23. – № 12. – P. 2116–2121.
4. Weber, M.J. Handbook of optical materials / M.J. Weber. – Boca Raton :CRC Press, 2003. – 536 p.
5. Mitchel, A.R. Computational Methods in Partial Differential Equations / A.R. Mitchel. – New York: Wiley, z1969. – 255 p.
6. Lizhong, S. Modified finite-difference beam-propagation method based on the Douglas scheme / S. Lizhong, G.L. Yip // Opt. Lett. – 1993. – Vol. 18. No. 15. – P. 1229 – 1231.
7. Khmelnitsky, D. Interaction of two-dimensional rectangular light beams in a photorefractive SBN crystal / D. Khmelnitsky, V. Matusevich, A. Kiessling, R. Kowarschik, V.V. Ryzhova, V.V. Shepelevich, A.E. Zagorskiy / Ferroelectrics. – 2009. – Vol. 390. – P. 116–127.